

Diff. liten. 29.3.12

1.)

### A. Grensesyklar og periodiske løsn. i $\mathbb{R}^2$

(1)  $\dot{x} = f(x)$ ;  $f, x \in \mathbb{R}^2$  (Kan gjøres til  $\mathbb{R}^n$  innatt andreles)

Obs. 1:

a) Grensesykl = isolert periodisk løsn.

b) Periodisk løsn.  $\Rightarrow$  farebane lukka

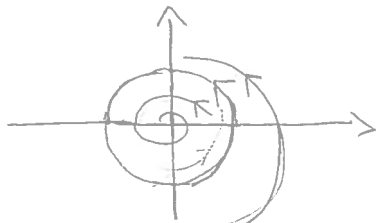
Farebane lukka + (1) autonomet  $\Rightarrow$  løsn. periodisk  
(alle omloop for lik tid)

c) Isolert: Det fins omegn om farebanen  
uten andre per. løsn. / lukka farebaner.



Eks. 1:

$$\begin{cases} \dot{r} = -r(r - P)^2 \\ \dot{\theta} = 1 \end{cases}$$

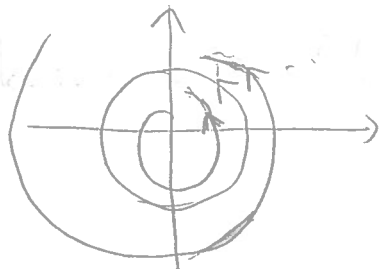


2)

Obs:  $r = 1 \Rightarrow \dot{r} = 0, \dot{\theta} > 0 \Rightarrow r = 1$  gr. sykel  
 $\dot{r} < 0$  for  $r \neq 0, r \neq 1$   $\Rightarrow$  ustabil (hvorfor?)

Eks. 2:

$$\begin{cases} \dot{r} = r \cdot (1 - r^2) \\ \dot{\theta} = 1 \end{cases}$$

Obs:  $r = 1$  gr. sykel

$$\dot{r} \begin{cases} < 0 & r > 1 \\ > 0 & 0 < r < 1 \end{cases} \Rightarrow r = 1 \text{ stabil}$$

Obs. 2:

Sjk: stab. i hitt. vanlig def. i Eks 2.

Obs. 3:i)  $T$  lukka farebane

$$\Rightarrow \sum_{i=1}^n I_{x_i} = I_T = 1$$

der  $x_1, \dots, x_n$  alle likev. pl. omstutter av  $T$ 

ii) Neg. kontrarium:

$$\sum_{i=1}^n I_{x_i} \neq 1 \Rightarrow \text{ingen lukka farebane omstutter}$$

kun  $x_1, \dots, x_n$

iii) Må anta  $T, f$  s.a. indeks er veldef. og  $I_T = \sum I_{x_i}$  (3.)

Eks. 3:

$$\begin{cases} \dot{x}_1 = x_2^2 + 1 \quad (\neq 0) \\ \dot{x}_2 = x_1(x_2^2 + 1) + x_2 \end{cases}$$

Ingen likev. pt.

$\Rightarrow I_T = 0$  for alle lukka  $T$

obs-2

$\Rightarrow$  ingen (gr. sykler el.) lukka fasebaner

Tm-1: (Bendixsons neg. kriterium)

$\Omega$  åpen, enkelsmh.;  $f \in C^1$ ;  $\Omega$  og

$$\nabla \cdot f = \frac{\partial f_1}{\partial x_1} + \frac{\partial f_2}{\partial x_2} < 0 \text{ i } \Omega \text{ (el. } > 0 \text{ i } \Omega)$$

$\Rightarrow$  det finnes ingen lukka fasebaner i  $\Omega$ .

Beweis:

Anta:  $T \subset \Omega$  (enkel, lukka, ...) fasebane,



$D_T$  området omsluttet av  $T$

$$0 > \iint_{D_T} \nabla \cdot f \, dx_1 dx_2 = \underset{\substack{\text{div. fm.} \\ \uparrow}}{\iint_T} f \cdot n \, ds \underset{\substack{f \cdot n = 0 \\ \uparrow}}{=} 0$$

tangent  $T$       normal  $T$

Motsigelse  $\Rightarrow T$  ikke fasebane

□

(4.)

## Tm. 2: Dulacs test

$\Omega$  åpen, enkel snh.;  $g, f = (f_1, f_2) \in C^1(\Omega)$  og

$$\nabla \cdot (gf) = \frac{\partial}{\partial x_1}(gf_1) + \frac{\partial}{\partial x_2}(gf_2) < 0 : \Omega \quad (>0 : \Omega)$$

$\Rightarrow$  det fins ingen lukka fasesbaner i  $\Omega$

Bewis: Som for Tm. 1

Eks. 9:

$$\ddot{x}_1 + \underbrace{f(x)}_{\downarrow \text{dempning.}} \dot{x}_1 + g(x) = 0$$

$$\dot{x}_1 = x_2 \quad = f_1(x_1, x_2)$$

$$\dot{x}_2 = -f(x_1)x_2 \div g(x_1) = f_2(x_1, x_2)$$

$$\frac{\partial f_1}{\partial x_1} + \frac{\partial f_2}{\partial x_2} = -f(x_1)$$

$\Downarrow$  Tm. 1

ingen periodiske løsn. i områder  
der  $f > 0$  (el.  $f < 0$ )

Obs: Slike områder har kun pos. (el. <sup>kun</sup> neg.)  
dempning  $\rightarrow |x(f)|$  øver (vokser) over tid.

5.)

Eks. 5:

$$\dot{x}_1 = x_1^2 x_2 = f_1$$

$$\dot{x}_2 = x_1^2 x_2^2 (1 + x_1^2) = f_2$$

$$\text{Obs: } x_1 = 0 \Rightarrow \dot{x}_1 = 0$$

$$x_2 = 0 \Rightarrow \dot{x}_2 = 0$$

$\Rightarrow$  løsn. krysser ikke  $x_1=0$  el.  $x_2=0$

$\Rightarrow$  kvadrantene er inv.!

$$\frac{\partial f_1}{\partial x_1} + \frac{\partial f_2}{\partial x_2} = 2x_1 x_2 + 2x_1 x_2 (1 + x_1^2)$$

endrer ikke fortegn innen en kvadrant.

Tm. 1 + inv.

$\Rightarrow$  ingen periodiske løsn. i  $\mathbb{R}^2$

$\therefore$  B. Poincaré stabilitet

Def. 1:

a)  $T_{x_0}^+ = \{ \varphi(t; x_0) : t \geq 0 \}$

"min"

b) Avst. fra  $x$  til  $\Omega$ :  $\text{dist}(x, \Omega) = \inf_{y \in \Omega} |x - y|$

c) Løsn.  $x(t)$  av (1) Poincaré stab. hvis for

alle  $\varepsilon > 0$  finnes  $\delta > 0$  s.a.

$$|x - x_0| < \delta \Rightarrow \text{dist}(\varphi(t; x), T_{x_0}^+) < \varepsilon \text{ for alle } t > 0$$

6.)

## B. Poincaré avbildninger og følger i $\mathbb{R}^2$

(Kan gjøres i  $\mathbb{R}^n$ )

$$\therefore \left| \begin{array}{l} (1) \quad \dot{x} = f(x) ; \quad x = (x_1, x_2), f = (f_1, f_2) \end{array} \right.$$

Begreper:

1.) Transversal = økte - parallell

2.) Poincaré snitt = kurvesegment  
transversal til  $f$  (til fasebaner av (1))

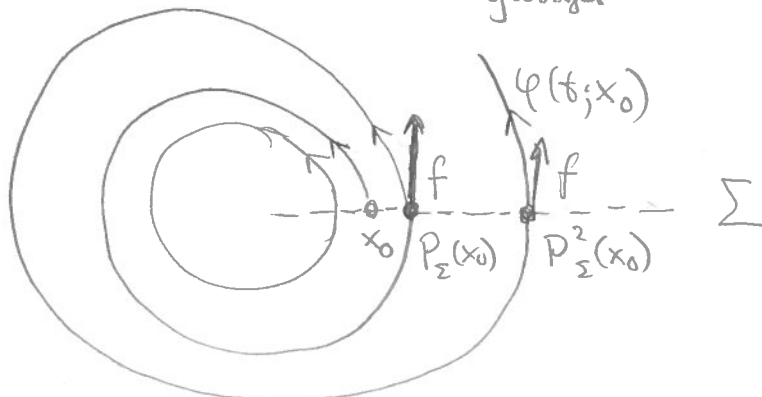
3.) Poincaréavbildning til  $x_0 \in \Sigma$ ,  $\Sigma$  P. snitt:

$$P_\Sigma(x_0) = \varphi(t_{\min}; x_0) \quad (\in \Sigma)$$

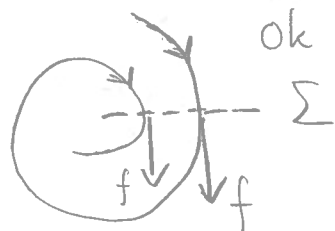
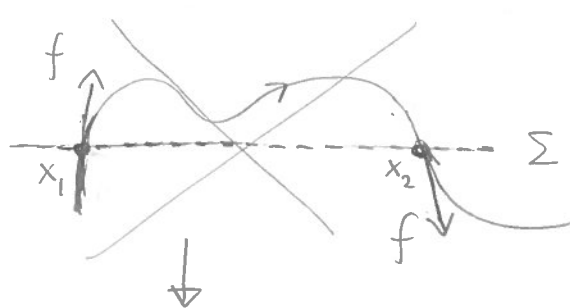
der  $\varphi$  "flow" og  $t_{\min} = \min\{t > 0 : \varphi(t; x_0) \in \Sigma\}$

4.) Poincaréfølge:  $x_0, P_\Sigma(x_0), P_\Sigma^2(x_0), \dots, P_\Sigma^n(x_0), \dots$

der  $P_\Sigma^n(x_0) = \underbrace{P_\Sigma \circ P_\Sigma \circ \dots \circ P_\Sigma}_{n \text{ ganger}}(x_0)$  ( $n \times$  sammenrechn.)



7.)

Obs. 4:i)  $f, \Sigma$  transversale  $\Leftrightarrow$  tangent  $\Sigma \nparallel f$ ii)  $x_0 \in \Sigma \xrightarrow{\text{transv.}} f(x_0) \neq 0 \quad (0 \parallel \text{alle vektorer})$ iii)  $\Sigma$  transv.  $\Rightarrow f$  peker hele tiden til en side av  $\Sigma$ 

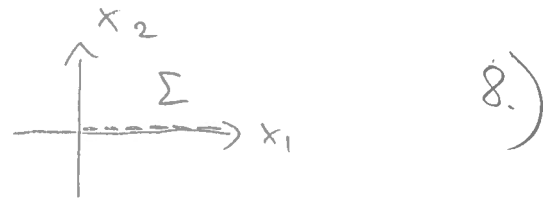
[ $f(x)$  endres kont. fra  $f(x_1)$  til  $f(x_2)$ , via  $T_\Sigma$ ]

iv)  $P_\Sigma$  "first return map"v)  $x_0 = P_\Sigma(x_0) \Leftrightarrow x_0$  ligger på lukka fasebane(x0 følspkt. for  $P_\Sigma$ )Eks. 6:

$$\begin{cases} \dot{r} = r(1-r) \\ \dot{\theta} = -1 \end{cases}$$

Grenseverdi:  $r = 1$  ( $\Leftrightarrow$  jk!)

$$\text{Løsn. (sjk): } \begin{cases} r = \frac{r_0}{r_0 + (1-r_0)e^{-t}} & (r(0)=r_0) \\ \theta = -t + \theta_0 & (\theta(0)=\theta_0) \end{cases}$$



$$\Sigma = \{x : x_2 = 0, x_1 > 0\}$$

transversal siden  $\dot{\theta} \neq 0 \Rightarrow$  P. snitt

Siden  $\varphi(t; x_0) = r(t) (\cos \theta(t), \sin \theta(t))$ , vil

$$x_0 \in \Sigma \Rightarrow r(0) = |x_0|, \theta(0) = n \cdot 2\pi, n \in \mathbb{Z}$$

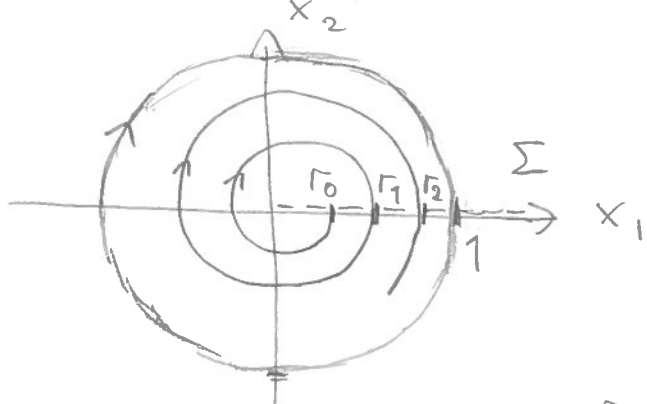
Velg  $n = 0; \theta(0) = 0$ .

$\varphi(t; x_0)$  krysser  $\Sigma$  hver gang  $\overset{=t}{\checkmark} \theta = k \cdot 2\pi, k \in \mathbb{Z}$

$$\Rightarrow P_\Sigma(x_0) = \varphi(t_{\min}; x_0) = \varphi(2\pi; x_0) = r(2\pi) \cdot (1, 0)$$

$$\Rightarrow P_\Sigma^n(x_0) = \varphi(2\pi n; x_0) = r(2\pi n) \cdot (1, 0)$$

$$= \frac{r_0 |x_0|}{r_0 + (1 - r_0) e^{-2\pi n}} (1, 0)$$



$$r_n = r(2\pi n) \xrightarrow[n \rightarrow \infty]{} 1 \text{ når } \cancel{r_0 \neq 1} \quad \begin{array}{l} r_0 \neq 1 \text{ og } r_0 \neq 0 \\ \text{(og når } r_0 > 1!) \end{array}$$

$r = 1$  stabil, nærliggende baner konv. mot  $r = 1$ .

$P_\Sigma^n(x_0) \rightarrow (1, 0) \in \{x : \|x\|=1\}$  gr. cykel.

Obs. 5:  $P_\Sigma^n x_0 \rightarrow x \in T$  gr. cykel  $\Rightarrow T$  stab. fra  $x_0$  side